

ВЛИЯНИЕ НАПРЯЖЕНИЯ ОБРАТНОЙ ПОСЛЕДОВАТЕЛЬНОСТИ НА ЭКСПЛУАТАЦИОННЫЕ ХАРАКТЕРИСТИКИ АСИНХРОННОГО ДВИГАТЕЛЯ

Федоров М.М., Пинчук О.Г.

Донецкий национальный технический университет

In tendered operation the researches are held with the purpose of an estimation of influence of magnitude of a phase of voltage of a revertive succession on electromechanical and thermal values of an induction motor.

Ежегодно на долю электродвигателей приходится 25-30% общего числа повреждения электрооборудования. Наиболее часто, в 80-85% случаях, неисправной оказывается обмотка двигателя [1]. Повреждение изоляции может быть вызвано перегрузками по току. Увеличение тока в обмотках асинхронного двигателя (АД) вызывает перегрев – дополнительное превышение температуры элементов конструкции АД по сравнению с рабочим режимом.

Одним из распространённых режимов, вызывающим перегрузки асинхронных двигателей (АД) является несимметрия питающего напряжения. Возможная несимметрия напряжения сети регламентирована ГОСТ 13109-97 «Электрическая энергия. Совместимость технических средств электромагнитная. Нормы качества электрической энергии в системах электроснабжения общего назначения» в пределах 2-4%. В качестве меры несимметрии напряжений АД используют коэффициент несимметрии обратной последовательности K_{2U} , который определяют, как отношение напряжения обратной последовательности основной частоты к номинальному линейному напряжению, %. При этом подразумевается, что сдвиг по фазе между $\underline{U}_{пр}$ и $\underline{U}_{обр}$ равен 0. Однако на практике имеет место изменение напряжений прямой и обратной последовательности не только по величине, но и по фазе а величина коэффициента несимметрии при этом может достигать 28% и более [3]. В литературных источниках [4] рассматривались вопросы влияния коэффициента несимметрии на эксплуатационные характеристики АД, при этом не учитывался фактор сдвига по фазе между прямым и обратным напряжением. В предлагаемой работе проведены исследования с целью оценки влияния, как величины, так и фазы напряжения обратной последовательности на электромеханические и тепловые характеристики АД. Для этого был произведен расчёт эксплуатационных характеристик электродвигателя с фазным ротором МТН 111-6. При расчётах использовался метод симметричных составляющих, с применением Г - образной схемы замещения (рис.1), для прямой и обратной последовательностей [5]. Расчёт осуществлялся для различных значений сдвига по фазе между напряжениями прямой и обратной последовательности $\psi_{U_{пр}} - \psi_{U_{обр}} = \Delta\psi_{2U} = 0..360^\circ$ при $\underline{U}_{пр} = \underline{U}_{1н}$ и $|\underline{U}_{обр}| = \text{const}$. Алгоритм расчёта был принят следующим. Далее задаваясь шагом Δs начиная с $s=1$ до $s=0$ рассчитывались комплексы токов прямой и обратной последовательности согласно Г - образной схемы замещения. Затем величины токов статора (I_{1A}, I_{1B}, I_{1C}) и ротора ($I_{2A}', I_{2B}', I_{2C}'$), что дало возможность определить электрические потери первичной (P_{M1}) и вторичной (P_{M2}) обмоток. При расчете определялся элетромагнитный момент, моменты прямой и обратной последовательности и результирующий, равный их сумме. Отдельно фиксировались параметры АД при $M = M_n$.

Расчёт теплового состояния осуществлялся с помощью системы дифференциальных уравнений, полученных с помощью эквивалентной тепловой схемы (ЭТС), в которых в качестве узлов выделены отдельные фазы обмоток [6]. Для двигателя с фазным ротором в качестве узлов были выбраны: 1а, 1в, 1с – пазовые части обмоток статора; 2а, 2в, 2с - пазовые части обмоток ротора; 3 – пакет статора; 4 – пакет ротора; 5а, 5в, 5с – лобовые части обмоток статора; 6а, 6в, 6с – лобовые части обмоток ротора; 7 – внутренний воздух; 8 – корпус. В результате ЭТС имеет 16 тел.

Система алгебраических уравнений в матричной форме, полученная с помощью ЭТС, для расчета температур в установившемся состоянии, имеет вид: $\Lambda \theta = P$. Здесь $\theta = (\theta_1, \dots, \theta_8)^T$ - вектор столбец превышения температур соответствующих узлов над температурой окружающей среды θ_0 ; $\Lambda = (\lambda_{ij})$ – матрица теплопроводностей ЭТС АД; $P = (P_1, \dots, P_8)^T$ – вектор потерь мощности в узлах АД. Расчёт температур в установившемся состоянии осуществлялся для значений фазы напряжения обратной последовательности $\Delta\psi_{2U} = 0..360^\circ$.

По изложенной выше методике была проведена серия расчетов для фиксированных значениях напряжения обратной последовательности $U_{обр}$ и различных значениях фазы напряжения обратной последовательности $\psi_{2U} = 0..360^\circ$.

В качестве примера на рис. 1 приведены изменения действующих значений токов статора (I_{1A}, I_{1B}, I_{1C}) в функции изменения фазы напряжения обратной последовательности $\Delta\psi_{2U}$, при фиксированных $U_{обр} = 0.05U_{1н}$ (рис.1а) и $U_{обр} = 0.20U_{1н}$ (рис.1б). Из рис.1 следует, что с изменением $\Delta\psi_{2U}$ токи в фазах изменяются в широких пределах: при $U_{обр} = 0.05U_{1н}$ $I = (0.82 \div 1.19)I_{1н}$, а при $U_{обр} = 0.20U_{1н}$ $I = (0.35 \div 1.8)I_{1н}$. В таблице 1 приведено распределение токов в обмотках статора и ротора за пол периода для $\Delta\psi_{2U}$, при которых ток первичной обмотки фазы А (I_{1A}) принимает свое максимальное ($\Delta\psi_{2U1}$, рис.1), минимальное ($\Delta\psi_{2U3}$, рис.1) или равное единице ($\Delta\psi_{2U2}$, рис.1) значение:

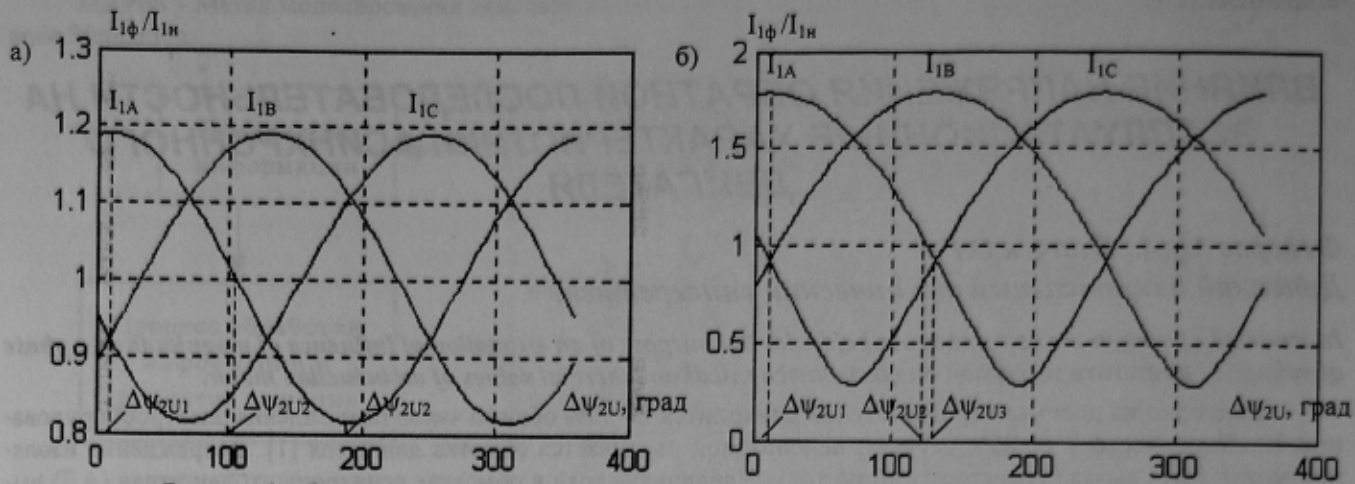


Рисунок 1 – Зависимости фазных токов первичной обмотки от фазы напряжения обратной последовательности при $U_{обр} = 0.05U_{1н}$ (а) и $U_{обр} = 0.20U_{1н}$ (б)

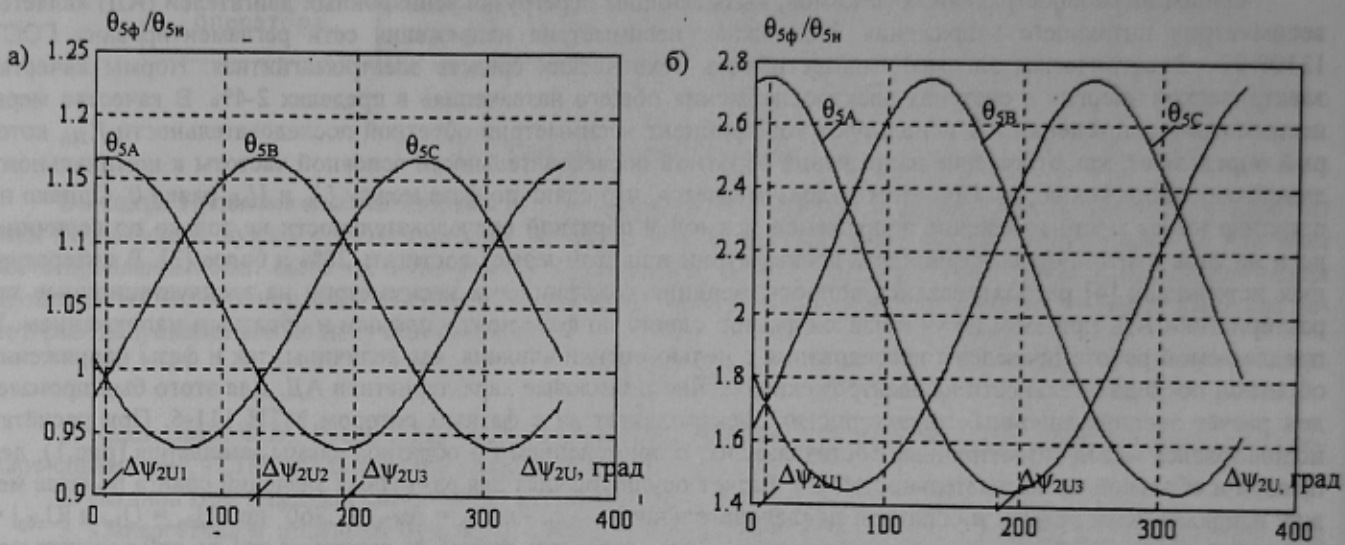


Рисунок 2 – Зависимости превышений температур пазовой части обмотки статора от фазы напряжения обратной последовательности при $U_{обр} = 0.05U_{1н}$ (а) и $U_{обр} = 0.20U_{1н}$ (б)

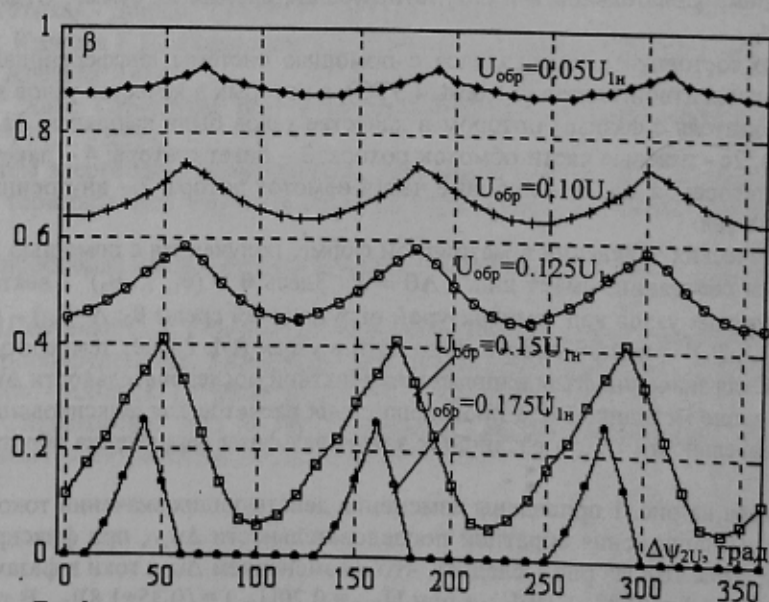


Рисунок 3 – График зависимости коэффициента нагрузки от фазы напряжения обратной последовательности при различных уровнях напряжения обратной последовательности

Распределение действующих значений токов статорной и роторной обмоток

Таблица 1

$K_{2U}, \%$	$\Delta\psi_{2U}, \text{град}$	$I_{1A}, \text{отн. ед.}$	$I_{1B}, \text{отн. ед.}$	$I_{1C}, \text{отн. ед.}$	$I'_{2A}, \text{отн. ед.}$	$I'_{2B}, \text{отн. ед.}$	$I'_{2C}, \text{отн. ед.}$
$K_{2U} = 5\%$	5	1.19	0.92	0.92	1.22	0.77	1.08
	106	1.00	1.18	0.85	1.15	1.16	0.75
	185	0.82	1.10	1.10	0.82	1.00	1.25
$K_{2U} = 20\%$	5	1.79	0.95	0.95	1.97	1.59	0.39
	125	1.00	1.79	0.85	1.59	1.97	0.39
	185	0.30	1.55	1.55	0.70	2.06	1.36

Аналогичное распределение токов в обмотках (за пол периода для $\Delta\psi_{2U}$) статора и ротора имеет место для $\Delta\psi_{2U}$ (табл.2), при которых ток вторичной обмотки фазы А (I'_{2A}) принимает свое максимальное ($\Delta\psi_{2U1}$), минимальное ($\Delta\psi_{2U3}$) и равное единице ($\Delta\psi_{2U2}$) значение. Следует отметить, что максимальные или минимальные значения токов статорной и роторной обмоток достигаются при различных $\Delta\psi_{2U}$.

Распределение действующих значений токов статорной и роторной обмоток

Таблица 2

$K_{2U}, \%$	$\Delta\psi_{2U}, \text{град}$	$I'_{2A}, \text{отн. ед.}$	$I'_{2B}, \text{отн. ед.}$	$I'_{2C}, \text{отн. ед.}$	$I_{1A}, \text{отн. ед.}$	$I_{1B}, \text{отн. ед.}$	$I_{1C}, \text{отн. ед.}$
$K_{2U} = 5\%$	44	1.26	0.90	0.90	1.16	1.03	0.84
	142	1.00	1.25	0.81	0.88	1.18	0.96
	224	0.75	1.18	1.18	0.85	1.00	1.17
$K_{2U} = 20\%$	44	2.15	1.05	1.05	1.72	1.32	0.50
	167	1.00	2.08	1.09	0.47	1.70	1.34
	224	0.05	1.80	1.80	0.59	1.24	1.75

Нарушение симметрии питающего напряжения вызывает несимметрию токов статора и ротора, которые характеризуются коэффициентами несимметрии $K_{2i} = \frac{I_{\text{обр}}}{I_{\text{пр}}}$, $K_{1i} = \frac{I_{2\text{обр}}}{I_{2\text{пр}}}$ соответственно. При чем соотношение токов прямой и обратной последовательности постоянно и не зависит от фазы напряжения обратной последовательности, а определяется величиной K_{2U} (табл.3):

Зависимости коэффициентов несимметрии по току статора и ротора от коэффициента несимметрии питающего напряжения:

Таблица 3

$K_{2U}, \%$	5	10	15	20	25
$K_{1i}, \%$	18.8	37.3	55.3	72.6	88.9
$K_{2i}, \%$	25.6	50.6	74.3	96.3	116.2

Суммарные электрические потери всех трех фаз первичной ($P_{1MA}+P_{1MB}+P_{1MC}$) и вторичной ($P_{2MA}+P_{2MB}+P_{2MC}$) обмоток одинаковы при всех $\Delta\psi_{2U}$ и зависят только от величины напряжения обратной последовательности. Однако в силу неравномерности распределения токов в фазах первичной и вторичной обмоток имеет место неравномерность распределения электрических потерь. При этом суммарные электрические потери в обмотках (P_{1M} и P_{2M}) не зависят от фазы напряжения обратной последовательности и растут при увеличении величины коэффициента несимметрии K_{2U} (табл.4).

Зависимости потерь в меди первичной и вторичной обмоток от величины коэффициента несимметрии.

Таблица 4

$K_{2U}, \%$	5	10	15	20	25
$P_{1M} / P_{1Mн}$	1.04	1.16	1.36	1.64	2.01
$P_{1MA} / P_{1Mн}$	0.47	0.64	0.84	1.07	1.33
$P_{1MB} / P_{1Mн}$	0.28	0.26	0.29	0.29	0.34
$P_{1MC} / P_{1Mн}$	0.28	0.26	0.29	0.29	0.34
$P_{2M} / P_{2Mн}$	1.07	1.30	1.67	2.19	2.87
$P_{2MA} / P_{2Mн}$	0.53	0.78	1.09	1.46	1.90
$P_{2MB} / P_{2Mн}$	0.27	0.26	0.29	0.37	0.48
$P_{2MC} / P_{2Mн}$	0.27	0.26	0.29	0.37	0.48

Перераспределение потерь вызывает неравномерный нагрев фаз обмоток статора и ротора. В исследуемом АД с фазным ротором с ростом несимметрии наиболее интенсивно растут токи роторной обмотки. Однако наиболее высокую температуру во всем диапазоне изменения $\Delta\psi_{2U}=0..360^\circ$ имеет пазовая часть обмотки статора (температура θ_5).

В качестве примера на рис.2 приведены изменения превышений установившихся температур пазовой части статорной обмотки ($\theta_{5A}, \theta_{5B}, \theta_{5C}$) от фазы напряжения обратной последовательности $\Delta\psi_{2U}$ при $U_{\text{обр}} = 0.05U_{1н}$ (рис.2а) и $U_{\text{обр}} = 0.20U_{1н}$ (рис.2б). Из рис.2 следует, что с изменением $\Delta\psi_{2U}$ температуры фазных обмоток изменяются в широких пределах: при $U_{\text{обр}} = 0.05U_{1н}$ $\theta_5 = (0.94 \div 1.16)\theta_{5н}$, а при $U_{\text{обр}} = 0.20U_{1н}$ $\theta_5 =$

$(1.45 \div 2.75)\theta_{5н}$. В таблице 5 приведены превышения температур за пол периода для $\Delta\psi_{2U}$, при которых превышение температуры пазовой части обмотки статора фазы А (θ_{5A}) принимает свое максимальное ($\Delta\psi_{2U1}$, рис.2), минимальное ($\Delta\psi_{2U3}$, рис.2) или равное единице ($\Delta\psi_{2U2}$, рис.1) значение:

Распределение превышений установившихся температур обмоток статора и ротора

Таблица 5

$K_{2U}, \%$	$\Delta\psi_{2U}, \text{град}$	$\theta_{5A}, \text{отн. ед.}$	$\theta_{5B}, \text{отн. ед.}$	$\theta_{5C}, \text{отн. ед.}$	$\theta_{6A}, \text{отн. ед.}$	$\theta_{6B}, \text{отн. ед.}$	$\theta_{6C}, \text{отн. ед.}$
$K_{2U} = 5\%$	5	1.17	0.98	0.98	1.01	0.91	0.97
	106	1.00	1.17	0.99	0.97	1.01	0.91
	185	0.94	1.11	1.11	0.92	1.01	0.95
$K_{2U} = 20\%$	5	2.75	1.71	1.71	2.25	1.69	2.02
	185	1.45	2.35	2.35	1.73	2.30	1.92

По аналогии в таблице 6 приведены превышения температур за пол периода для $\Delta\psi_{2U}$, при которых превышение температуры пазовой части обмотки ротора фазы А (θ_{6A}) принимает свое максимальное, минимальное или равное единице значение. При этом максимальные и минимальные значения токов и температур для статорной и роторной обмоток соответственно, достигаются при одинаковых $\Delta\psi_{2U}$.

Распределение превышений установившихся температур обмотки ротора

Таблица 6

$K_{2U}, \%$	$\Delta\psi_{2U}, \text{град}$	$\theta_{6A}, \text{отн. ед.}$	$\theta_{6B}, \text{отн. ед.}$	$\theta_{6C}, \text{отн. ед.}$	$\theta_{5A}, \text{отн. ед.}$	$\theta_{5B}, \text{отн. ед.}$	$\theta_{5C}, \text{отн. ед.}$
$K_{2U} = 5\%$	44	1.02	0.93	0.93	1.17	0.99	0.99
	93	1.00	0.98	0.91	1.06	1.14	0.95
	224	0.91	0.99	0.99	0.96	1.04	1.16
$K_{2U} = 20\%$	44	2.34	1.82	1.82	2.60	2.04	1.50
	224	1.67	2.15	2.15	1.53	1.96	2.65

В ходе исследований было выявлено, что $\Delta\psi_{2U}$, при которых имеются максимальные или минимальные значения тока или температуры одной из фаз двигателя не являются постоянными для различных АД, а зависят от типа и номинальных параметров двигателя. В общем случае, при $\Delta\psi_{2U}=0$ никакая из исследуемых функций не достигает ни своего максимального, ни минимального значений.

В случаях перегрева перечисленных выше отрицательных факторов можно избежать снижением нагрузки на валу электродвигателя. На рис. 8 приведен график коэффициента нагрузки двигателя $\beta=M/M_n$ от фазы напряжения обратной последовательности для $U_{обр} = [0.05U_{1н} \ 0.10U_{1н} \ 0.125U_{1н} \ 0.15U_{1н} \ 0.175U_{1н}]$ при условии, что температура наиболее нагретого узла не превышает номинальную.

Приведенные кривые показывают, что наличие на входе АД напряжения обратной последовательности $U_{обр} = 0.05U_{1н}$ требует снижения момента на валу двигателя на величину от 8% (при $\Delta\psi_{2U} \approx 10^\circ$), до 13% (при $\Delta\psi_{2U} \approx 70^\circ$) номинального в зависимости от фазы напряжения обратной последовательности. При $U_{обр} = 0.10U_{1н}$ снижение нагрузки составляет от 37% (при $\Delta\psi_{2U} \approx 0^\circ$) до 26% (при $\Delta\psi_{2U} \approx 60^\circ$). Дальнейший рост несимметрии ($U_{обр} = 0.15U_{1н}$) требует снижения момента уже на 60% (при $\Delta\psi_{2U} \approx 100^\circ$), а при $\Delta\psi_{2U} \approx 50^\circ$ требуется снизить момент на 89%, то есть двигатель будет работать вхолостую. При $U_{обр} = 0.175U_{1н}$ для $\Delta\psi_{2U}$ от 50° до 140° коэффициент нагрузки β принимает значения меньше 0.1, и двигатель не сможет разогнаться даже вхолостую, а при $\Delta\psi_{2U} \approx 50^\circ$ двигатель может быть нагружен на 15%.

Предложенная методика позволяет получить распределение токов и температур в элементах конструкции АД для любых значений фазы и амплитуды напряжения обратной последовательности. А также определить закон изменения нагрузки при несимметрии питающего напряжения, позволяющий избежать перегрева обмоток.

ЛИТЕРАТУРА

1. Справочник по электрическим машинам: В 2т./ С74 под общ. Ред. И.П. Копылова и Б.К. Клокова Т. 1. – М.: Энергоатомиздат, 1988. – 456с.: ил.
2. ГОСТ 13109 – 97 Электрическая энергия. Совместимость технических средств электромагнитная. Нормы качества электрической энергии в системах электроснабжения общего назначения.
3. Кузнецов В.Г., Николаенко В.Г., Висяшев А.А. Математические модели и анализ неполнофазных режимов ЛЭП. – Техническая электродинамика, 1985, №4.
4. Федоров М.М., Пинчук О.Г. К вопросу о влиянии напряжения обратной последовательности на электромеханические характеристики асинхронного двигателя. / Збірник наукових праць Донецького національного технічного університету. Серія: «Електротехніка і енергетика». Випуск 50. – Донецьк: ДонНТУ, 2002ю – 190с.
5. Вольдек А.И. Электрические машины. – Л.: Энергия, 1974, 839с.
6. Федоров М.М., Денник В.Ф., Корошенко А.В. Исследование распределения температур узлов асинхронного двигателя при несимметрии питающих напряжений // Сб. тр. ДонГТУ. Сер. электротехника и энергетика – Донецк - 1999. - Вып. 4. - С. 138-141.

Надано до редакції:

Рекомендовано до друку:

10.10.2003

д.т.н., проф. Дудник М.З.